# ダム門柱における3次元ソリッドモデルによる非線形解析手法の適用性の検討(その1)

水資源機構 正会員 佐藤 信光 冨田 尚樹 オリエンタルコンサルタンツ 正会員 ○福間 雅俊 正会員 久木留 正会員 大竹 貴裕 省吾

#### 1. はじめに

ダムの耐震性能照査では、ダム本体だけでなくゲートやこれを支持する門柱も耐震性を確認する必要がある. ダム門柱は水圧が作用するゲートを支える関係で幅の広い大きな構造であるが、それと比較して鉄筋が少ない 特徴となっている.このため、RC 構造であるがひび割れ耐力よりも曲げ降伏耐力が小さくなる低鉄筋構造と なることが多い. ダム門柱の耐震照査は一般に梁モデルで行われているが, 最近は詳細な3次元ソリッドモデ ルによる耐震照査も求められている.本稿は低鉄筋なダム門柱を3次元ソリッドモデルで耐震照査するために、 その損傷形態を考慮した非線形解析手法を既往の実験 しとも比較し、その適用性の検討を報告するものである.

### 2. 低鉄筋コンクリート構造への適用性

低鉄筋 RC 構造の破壊形態の特徴は、コンクリートのひび割れ後に耐力が低 下し, 直ちに鉄筋の降伏に至ることである. このため, 低鉄筋 RC 構造の破壊 形態の評価では、コンクリートのひび割れ後の特徴を適切に評価することが重 要である. RC 構造のひび割れ後の特性には、鉄筋とコンクリートの付着特性 に基づくテンションスティフニング特性と、コンクリートのひび割れ後の軟化 特性がある. 本検討では、ダム門柱の鉄筋比が 0.03~0.1%程度と小さいこと から, 前者には出雲らのモデル<sup>2)</sup>の C=1.0 (**図-1**)を用い,後者にはコンクリ ート標準示方書に記載されている破壊エネルギー(図-2)と引張強度に基づき 2直線モデル<sup>3)</sup>で推定する方法(図-3)を用いた.また,これらの特性を耐力の 算定において考慮するため、解析には3次元ソリッドモデルによる非線形解析 <sup>4)</sup>を用いることとした.上記の特性を用いた解析手法を既往の低鉄筋 RC 梁供 試体の載荷試験<sup>1)</sup> (表-1, 図-4)に適用し(図-5),変位載荷によるプッシュオ ーバー解析を実施した. この結果, 3 次元非線形解析は, 低鉄筋 RC 構造の曲 げ破壊形態を忠実に再現できることが確認できた(図-6).

ここで, ダムコンクリートの破壊エネルギーについては実験式 <sup>5)</sup> (図 -2)があり、コンクリート標準示方書の式に比べ高い値が報告されてい る. また, この原因としては, 骨材の最大寸法や, 粗骨材量の影響が 推測される. そこで、破壊エネルギーにダムコンクリートの特性を用 いたところ、コンクリート標準示方書に比べ最大荷重が大きくなるこ とが確認された(図-6). またこれは、コンクリートのひび割れ後の引 張抵抗が大きいため、ひび割れが内部に及ぶまで耐力が増加する(図 -7) ことが原因であった. したがって、ダムコンクリートでは普通コ ンクリートに比べひび割れ発生時に大きな耐力の発現が期待できる.

## 3. ダム門柱の耐震性能

ダム門柱に前述の3次元非線形解析を適用しその耐荷性能を推定し た. ダム門柱は、曲線形状の洪水吐きの上に設置された構造で、 流方向が非対称な上に、天端の上流側に橋梁が設置される複雑な形状

ot/ocr=(ecr/et)<sup>C</sup> ot:コンクリートの引張応力 ot: コンクリートの引引 ocr: ひび割れ発生応力 1.0 et:ひび割れ直交方向ひずみ : ひび割れ発生: 引張軟化係数 生時のひずみ 5 C=0.2C = 0.4C = 1.0図-1 テンションスティフィニ — コンクリート標準示方書の式 : G<sub>F</sub>=10(dmax)<sup>1/3</sup>・fck<sup>1/3</sup> — 堀井らによる式 : G<sub>F</sub>=(0.79dmax+80)・(fck/10)<sup>0.5</sup> 700 最大寸法 dmax 600 - 60mm - 40mm € 500 400 20mm 300 5 200 60mm 30mm 20mm 100 020 30 40 50 60 70 80 コンクリートの圧縮強度 f'ck(N/mm2) 図-2 破壊エネルギー 1.0 0.8 © 0.8  $\stackrel{\circ}{=}$  0.6 ₩ 0.4 (0.75, 0.25) 張 0.2 ひび割れ幅(ω×ftk/G<sub>F</sub>) 図-3 2直線モデル 3) 再現解析の条件 ートの圧縮強度 31.4N/mm<sup>2</sup> コンクリー コンクリートの引張強度  $2.3N/mm^2$ 358N/mm<sup>2</sup> 鉄筋の降伏強度 0.10% 鉄筋比 載荷点 載荷点 600 800 . 800 変位計測点 009 250 実験供試体 図-4 X: 拘束 Y: 拘束 Z: 拘束

X:自由Y:拘束Z:拘束

解析モデル

図-5

ダム門柱,耐震,RC 構造,材料非線形,FEM 解析

連絡先 〒151-0071 東京都渋谷区本町 3-12-1 (株) オリエンタルコンサルタンツ TEL03-6311-7860 である.このため、地震時挙動はねじりを伴う複雑ものとなるが、本検討では低鉄筋の影響のみを明確にするため単純な壁モデル (表-2、図-8)を用いた.コンクリートの軟化特性は、ダムコンクリートの破壊エネルギー (図-2)を考慮した (図-10の①).また、ひび割れ後のコンクリートの引張抵抗を無視する通常の骨組みモデル (図-9)で算定される耐力との比較を行った (図-10の骨組みモデル).この結果、3次元非線形解析による耐力は、骨組みモデルに比べ5割程度以上高いものとなった.そこで、その要因確認のため、3次元非線形解析のコンクリートの引張側の特性を無視した解析として図-10の解析を実施した.この結果、コンクリートのひび割れ後の引張抵抗を無視する (図-10の④) とひび割れ時の最大耐力が一致し、ひび割れ前も含めたコンクリート引張抵抗を無視する (図-10の⑤)と鉄筋降伏時の耐力が一致することが確認できた.

### 4. ダム門柱の耐震性能照査手法

前掲の図-10 より、ダム門柱の耐力は、ひび割れが内部に進展し最大荷重後を迎えた後、さらにひび割れが進展すると低下する。また、変形が進み鉄筋の降伏に至っても骨組み解析に比べ高い耐力を示す。これは、図-7、図-10 より、コンクリートのひび割れ後の引張抵抗とひび割れ前のコンクリートの抵抗によると考えらえる。以上より、低鉄筋 RC 構造物であるダム門柱では、コンクリートの引張抵抗が耐力に大きな影響を及ぼすことがわかった。

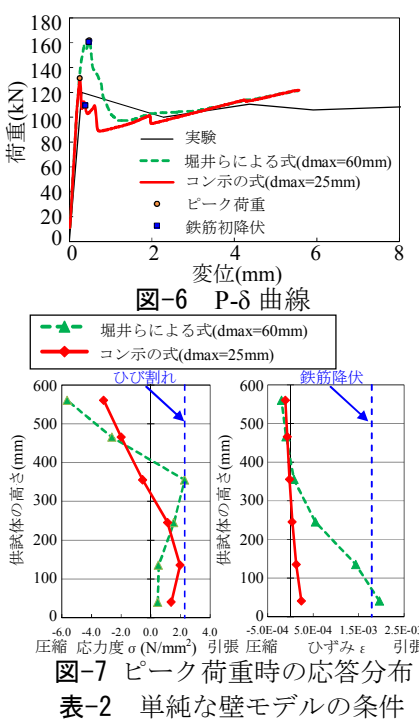
なお、最大荷重後の耐力の低下特性は、変位制御解析では表現できるが、 荷重制御解析では考慮できない。このため、動的解析により照査を行う際 には、応答変位が耐力低下の生じる変位を超過した際に耐力を過大評価す るため、必要に応じ、ひび割れ領域のコンクリートの引張強度を低下させ る等の配慮(図-10 の⑥)を行う必要がある。

### 5. おわりに

ダム門柱に適用する 3 次元ソリッドモデルによる非線形解析の適用性を, 入 既往の低鉄筋 RC 梁実験の再現により確認した. ダムコンクリートはひび 割れ後の抵抗が大きいため, ひび割れ時の最大耐力が大きくなることがわ かった. ダム門柱は曲線形状の洪水吐きの上に設置された上下流方向に非対称な構造であり, 引き続き, ダム門柱の実形状に対する 3 次元ソリッド

モデルによる非線形解析を適用することとした.

参考文献 1) 島弘, 二羽淳一郎, 岡村甫: 曲げを受ける低鉄筋比はりにおける脆性破壊の防止に関する検討, 土木学会論文集, 第 378 号, V-6, pp.231-237, 1987.2. 2)出雲淳一, 島弘, 岡村甫: 面内力を受ける鉄筋コンクリート板要素の解析モデル, コンクリート工学論文, No.87.9-1, pp.107-120, 1987.9. 3)土木学会: 2012 年制定コンクリート標準示方書 設計編, pp.37-38, 2012.7. 4) 佐藤裕一, 長沼一洋: 分散ひび割れ型 FEM によるひび割れ幅の予測(その3:3次元解析), 日本建築学会学術講演梗概集(関東), pp.667-668, 2006.9. 5) 堀井秀之, 内田善久, 柏柳正之, 木全宏之, 岡田武二: コンクリートダム耐力評価のための引張軟化特性の検討,電力土木, NO.286, pp.113-119, 2003.3.



コンクリートの圧縮強度 32.3N/mm<sup>2</sup> コンクリートの引張強度 2.3N/mm<sup>2</sup> 粗骨材の最大寸法 60mm 鉄筋の降伏強度 295N/mm<sup>2</sup> 鉄筋比 0.13%

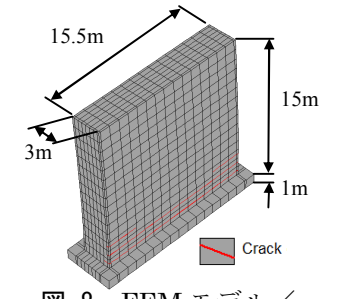


図-8 FEM モデル/

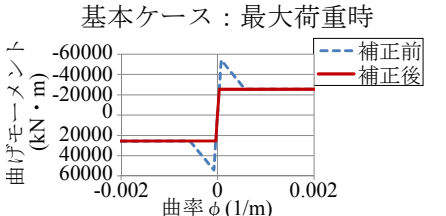
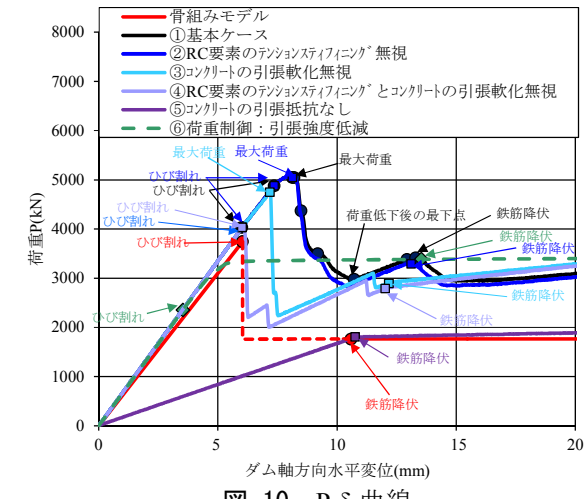


図-9 骨組みモデルの M-φ



図−10 P-δ曲線